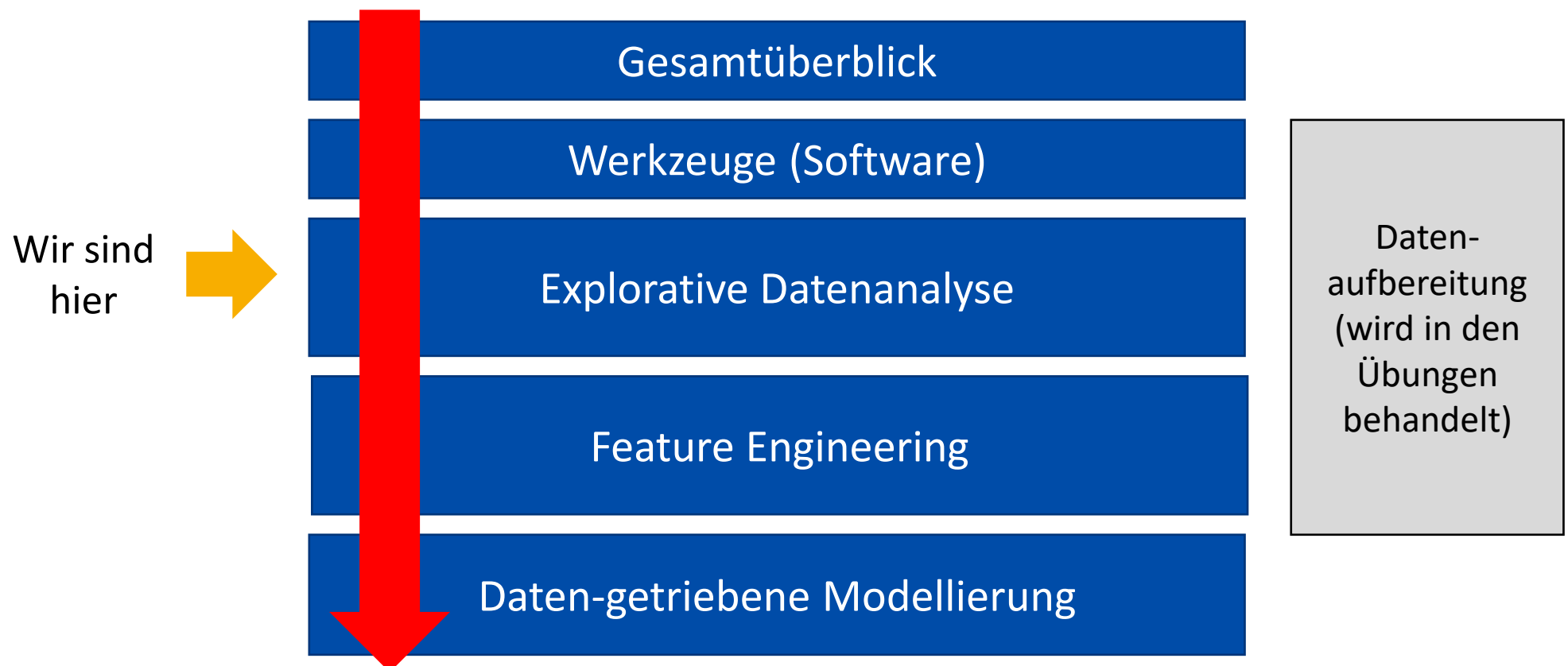
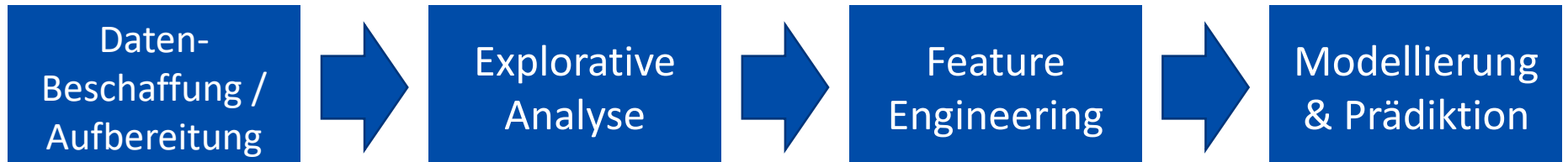


# Einführung in Data Science

## Unser Plan für heute:

1. Wiederholung
2. Multivariate explorative Analyse – Teil 2
  - Zusammenhangsmaße:  
Spearman Korrelationskoeffizient,  
Mutual Information
  - Interpretationsfehler

# Data Science



# Curriculum

- |   |  |
|---|--|
| <ul style="list-style-type: none"><li>1. Grundbegriffe / Überblick</li><li>2. Zentrale Softwarebibliotheken</li><br/><li>3. Univariate explorative Analyse (EDA)<br/>Visualisierung (Teil 1)</li><li>4. Visualisierung (Teil 2),<br/>Multivariate explorative Analyse (Teil 1)</li><li>5. Multivariate explorative Analyse (Teil 2)</li><li>6. Dimensionsreduktion (Teil 1): PCA</li><li>7. Dimensionsreduktion (Teil 2): MDS, Isomap</li><li>8. Clustering: K-Means, HCA</li><li>9. Clustervalidierung</li><br/><li>10. Probeklausur</li><br/><li>11. Feature Engineering,<br/>Datengetriebene Modellierung (Teil 1)</li><li>12. Datengetriebene Modellierung (Teil 2)</li></ul> | <p>Überblick /<br/>Begriffe</p> <p>Explorative<br/>Analyse<br/>(EDA)</p> <p>Feature<br/>Engineering &amp;<br/>Modellierung</p> |
|---|--|

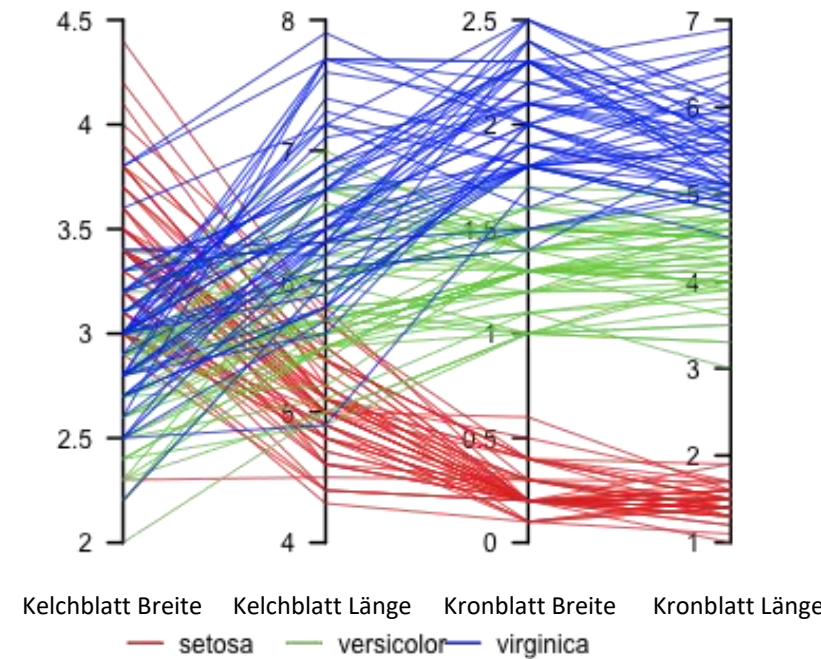
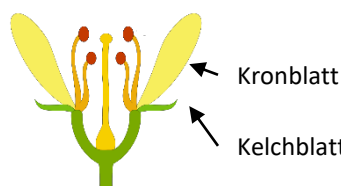
# M'variate Explorative Analyse | Visualisierung

## Parallel Coordinate Plots (PCPs, auch genannt: | |-Koordinaten)

- Technik zur Visualisierung multivariater Daten (Henry Gannett, 19. Jahrhundert; Inselberg (1985) Wegman (1990))
- hilfreich bei Exploration höherdimensionaler Räume
- Koordinaten werden auf parallelen Achsen dargestellt

### Beispiel: 4-dimensionaler Raum

- Schwertlilien-Datensatz:  
50 Pflanzen mit 4 Merkmale  
(Features)
- 3 Schwertlilienarten:  
Setosa, Versicolor, Virginia

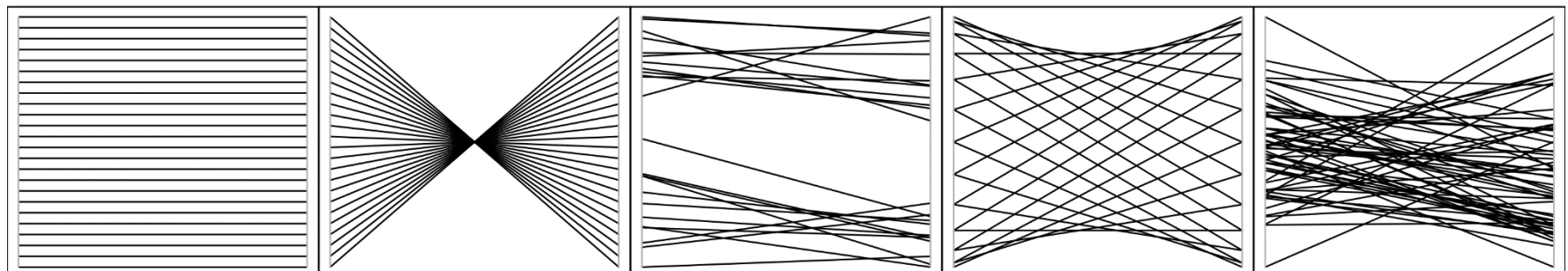
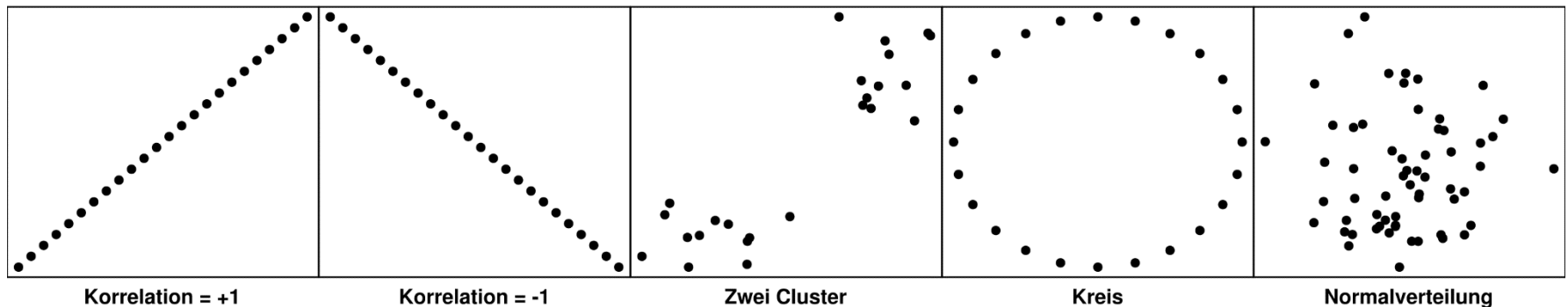


# M'variate Explorative Analyse | Visualisierung

## Parallel Coordinate Plots

Höherdimensionale Strukturen werden in PCPs erkennbar:

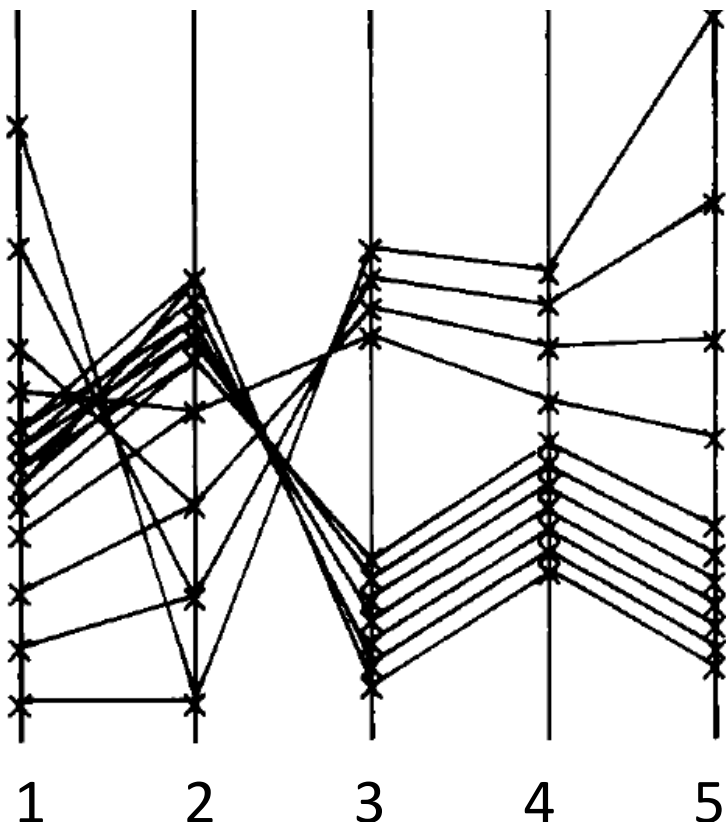
Streudiagramme



Parallel Coordinate Plots

# M'variate Explorative Analyse | Visualisierung

## Parallel Coordinate Plots



### Frage

Welche Strukturen erkennen Sie im dargestellten PCP?

### Frage

Welche Faktoren beeinflussen die Visualisierung des PCPs?

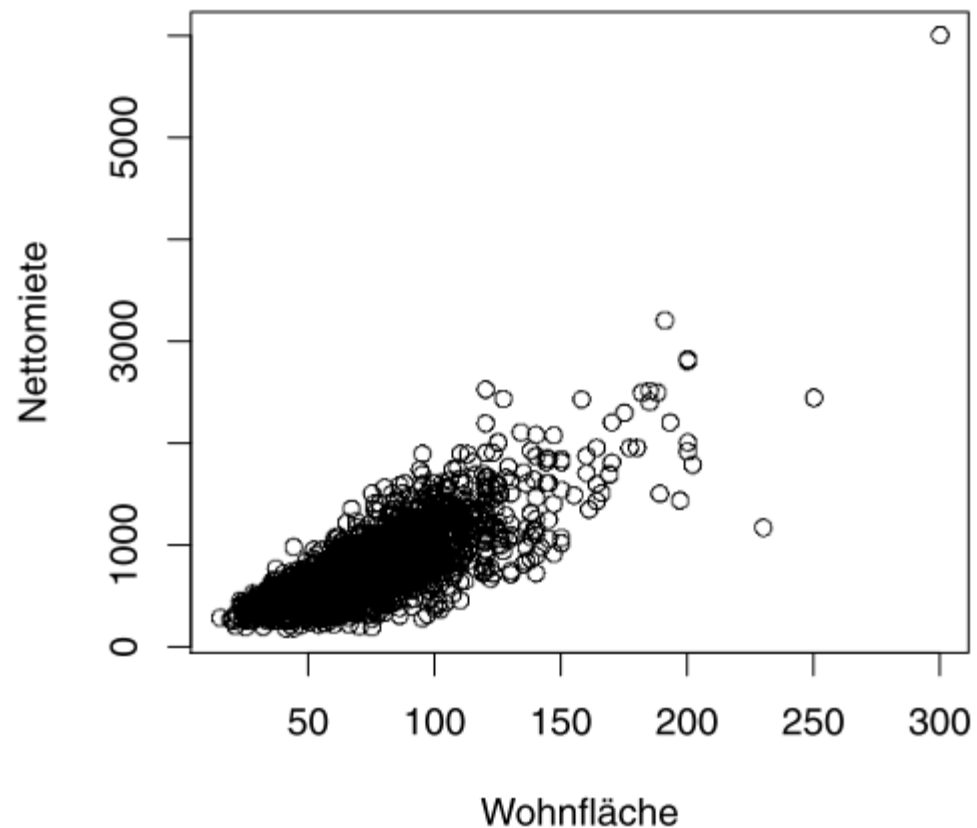
# M'variate Explorative Analyse | Zusammenhangsmaße

Charakterisierung von Zusammenhängen durch  
Zusammenhangsmaße (Interdependenzmaße)

Klassen von bivariaten Maßen:

- 1. Maße zur Quantifikation der **Stärke** eines Zusammenhangs
- 2. Maße zur Charakterisierung der **Richtung** eines Zusammenhangs
- 3. Maße zur Charakterisierung der **Direkt-/Indirektheit** eines Zusammenhangs [meist tri- oder n-variate ( $n \geq 3$ ) Maße]

Daten: Münchener Mietspiegel (2015)



# M'variate Explorative Analyse | Zusammenhangsmaße

Bivariate Maße zur Quantifikation der **Stärke** eines Zusammenhangs

1. Pearsons Korrelationskoeffizient  
Charakterisierung der Stärke linearer Zusammenhänge
2. Spearmans Korrelationskoeffizient  
Charakterisierung der Stärke monotoner Zusammenhänge



... und hunderte weitere Maße aus verschiedenen Domänen  
(von der Chaosforschung bis hin zur Charakterisierung  
feuernder Neuronen)

# Spearmans Korrelationskoeffizient

## Spearmans Korrelationskoeffizient

- charakterisiert Stärke monotoner Zusammenhänge

Frage: Was ist ein monotoner Zusammenhang?

Seien die Werte  $x_i$  einer Stichprobe der Größe  $n$  des Merkmals  $X$  geordnet:

$$x_1 \leq x_2 \leq \dots \leq x_n$$

Dann ist der Rang eines Wertes definiert als:

$$rg(x_i) = i$$

Beispiel:	$x_i$	2.17	8.00	1.09	2.01
	$rg(x_i)$	3	4	1	2

Wir übersetzen ebenfalls die Werte  $y_i$  in ihre Ränge  $rg(y_i)$ .

# Spearmans Korrelationskoeffizient

Umgang mit identischen Werten („Ties“, „Bindungen“)

- Bei identischen Werten: Rangvergabe nicht mehr eindeutig.
- Stattdessen: Bilden des Durchschnittsrangs  
D.h.: identischen Werten wird als Rang das arithmetische Mittel der infrage kommenden Ränge zugewiesen

Beispiel

$x_i$	1.09	2.17	2.17	2.17	3.02	4.5
-------	------	------	------	------	------	-----

Zwischenschritt: Zuweisung von Rängen  
(im Falle von Ties: zufällig)

1	3	2	4	5	6
---	---	---	---	---	---

$\underbrace{\phantom{000}}_{(2 + 3 + 4)/3 = 3}$

Ermittlung des Durchschnittsrangs für Ties

$$rg(x_i) \quad 1 \quad 3 \quad 3 \quad 3 \quad 5 \quad 6$$

$$(2 + 3 + 4)/3 = 3$$

$$\underbrace{\phantom{000}}_{3 \quad 3 \quad 3}$$

# Spearmans Korrelationskoeffizient

Spearmans Korrelationskoeffizient

- entspricht Pearsons Korrelationskoeffizient, angewandt auf die Rangpaare

$$r_{SP} = \frac{\sum(rg(x_i) - \bar{rg}_X)(rg(y_i) - \bar{rg}_Y)}{\sqrt{\sum(rg(x_i) - \bar{rg}_X)^2 \sum(rg(y_i) - \bar{rg}_Y)^2}}$$

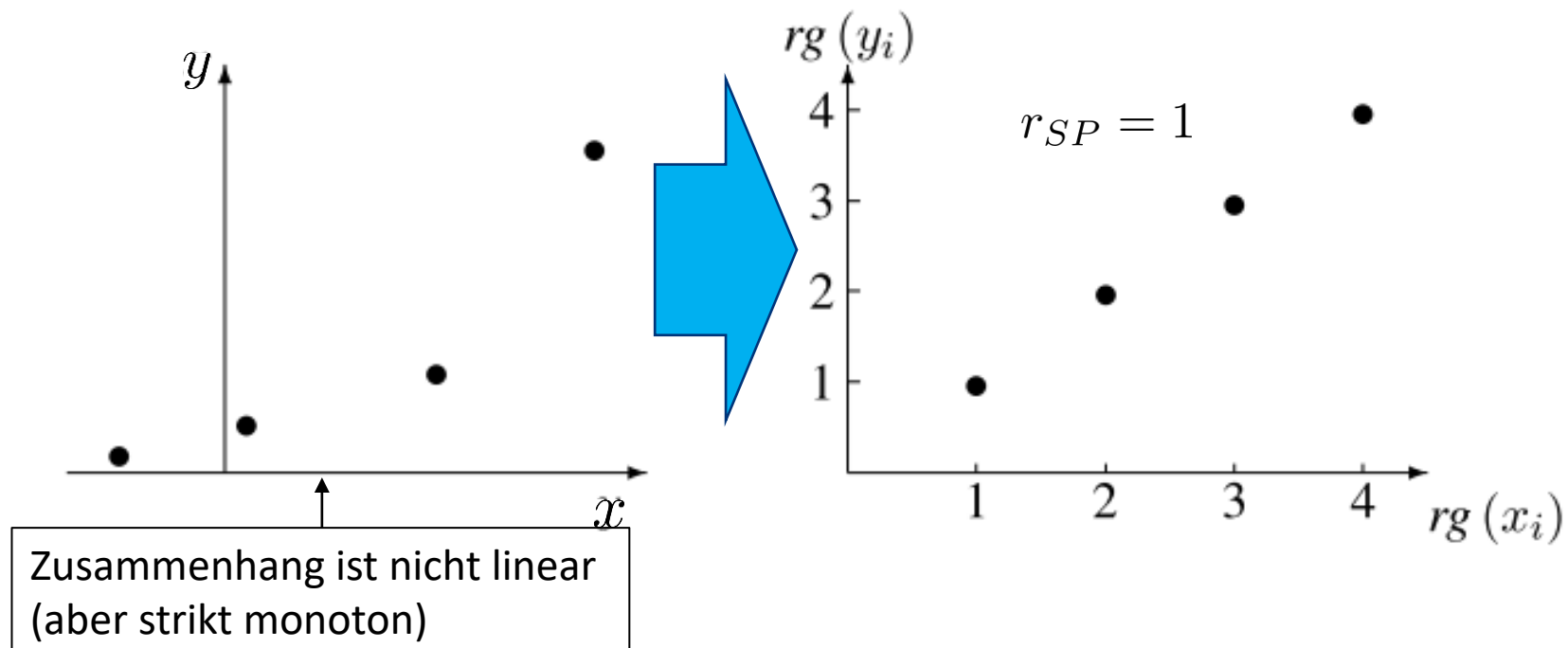
mit folgenden Mittelwerte der Ränge:

$$\bar{rg}_X = \frac{1}{n} \sum_{i=1}^n rg(x_i) = \frac{1}{n} \sum_{i=1}^n i = (n+1)/2$$

$$\bar{rg}_Y = \frac{1}{n} \sum_{i=1}^n rg(y_i) = \frac{1}{n} \sum_{i=1}^n i = (n+1)/2$$

# Spearmans Korrelationskoeffizient

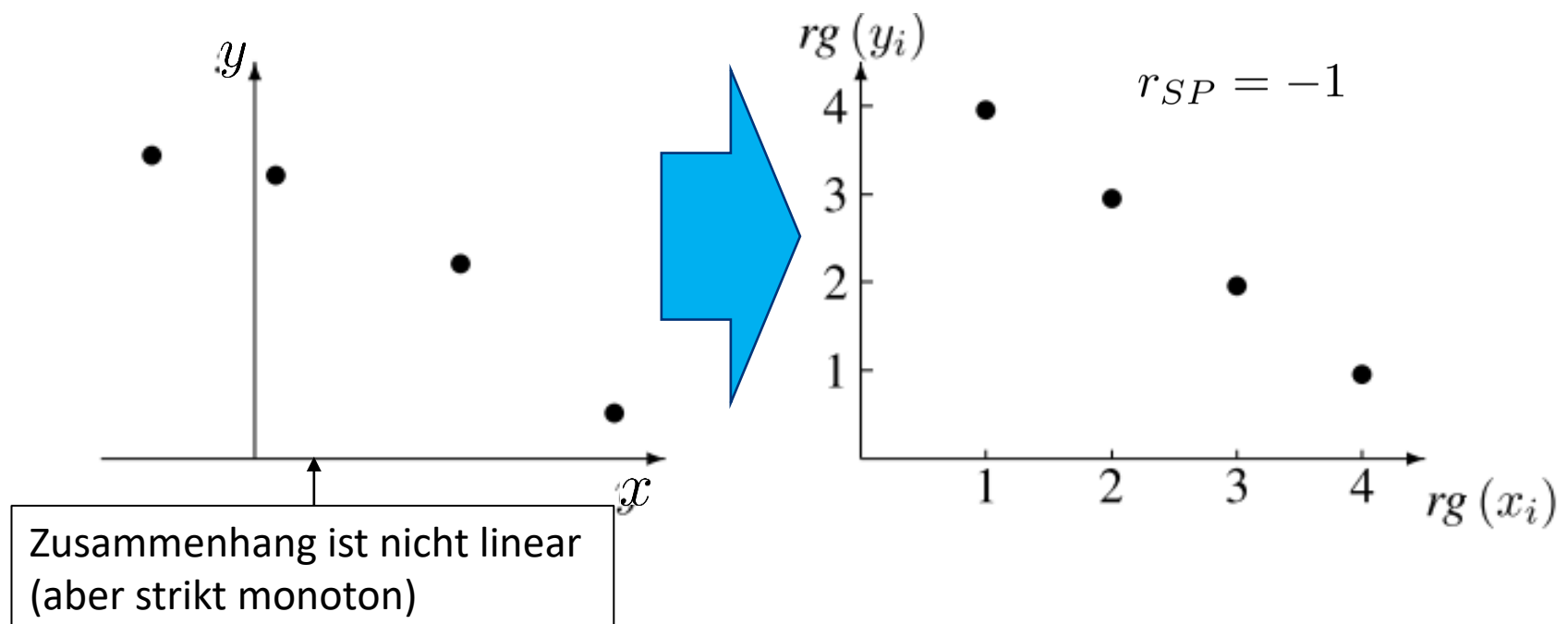
- $-1 \leq r_{SP} \leq 1$
- $r_{SP} = 1$  sofern Rangpaare  $(rg(x_i), rg(y_i))$  auf einer Geraden positiver Steigung liegen



Spearmans Korrelationskoeffizient misst Stärke des monotonen Zusammenhangs zwischen  $x$  und  $y$ .

# Spearmans Korrelationskoeffizient

- $-1 \leq r_{SP} \leq 1$
- $r_{SP} = -1$  sofern Rangpaare  $(rg(x_i), rg(y_i))$  auf einer Geraden negativer Steigung liegen



Spearmans Korrelationskoeffizient misst Stärke des monotonen Zusammenhangs zwischen x und y.

# Korrelationskoeffizienten: Pearson vs Spearman

Pearsons Korrelationskoeffizient vs Spearmans Korrelationskoeffizient

- charakterisiert lineare Zusammenhänge
- nutzbar für Merkmale (Features) auf *metrischem Skalenniveau*, [d.h. Merkmale unterstützen Operationen wie  $\neq, =, >, <, +, -, *, /$ ]  
Beispiele: Nettomiete, Alter
- charakterisiert monotone Zusammenhänge
- nutzbar für Merkmale (Features) auf metrischem oder *ordinalem Skalenniveau*, [ordinale Merkmale unterstützen Operationen wie  $\neq, =, >, <, ]$ ]  
Beispiele: Ränge, Schwierigkeitsgrade von Skipisten (blau, rot, schwarz).

# Invarianzen von Korrelationskoeffizienten

## Invarianzen

1. Invarianz des Absolutbetrags unter linearen Transformationen:  
(betrifft: Pearsons und Spearmans Korrelationskoeffizienten)

$$\tilde{X} = a_X X + b_X$$

$$\tilde{Y} = a_Y Y + b_Y$$

linear transformierte Features (Merkmale)

$$\begin{aligned}\text{Es gilt: } r_{\tilde{X}\tilde{Y}} &= \frac{\sum [a_X x_i + b_X - (a_X \bar{x} + b_X)][a_Y y_i + b_Y - (a_Y \bar{y} + b_Y)]}{\sqrt{\sum [a_X x_i + b_X - (a_X \bar{x} + b_X)]^2} \sum [a_Y y_i + b_Y - (a_Y \bar{y} + b_Y)]^2} \\ &= \frac{a_X a_Y \sum (x_i - \bar{x})(y_i - \bar{y})}{\sqrt{[a_X^2 \sum (x_i - \bar{x})^2][a_Y^2 \sum (y_i - \bar{y})^2]}} = \frac{a_X a_Y}{|a_X| |a_Y|} r_{XY}\end{aligned}$$

Es folgt:  $|r_{\tilde{X}\tilde{Y}}| = |r_{XY}|$

*Maßstabsunabhängigkeit  
des Pearson bzw. Spearman  
Korrelationskoeffizienten*

# Invarianzen von Korrelationskoeffizienten

Genauer:  $r_{\tilde{X}\tilde{Y}} = \frac{a_X a_Y}{|a_X| |a_Y|} r_{XY}$

Der Betrag von  $r$  ist invariant unter linearer Transformation.

Das Vorzeichen wird bestimmt durch die Vorzeichen der Koeffizienten  $a_X, a_Y$ .

2. Invarianz unter streng monotonen Transformationen  
(betrifft: Spearmans Korrelationskoeffizient)

$$\begin{aligned}\tilde{X} &= g(X) && \text{mit streng monoton wachsenden oder}\\ \tilde{Y} &= h(Y) && \text{fallenden Funktionen } g \text{ und } h\end{aligned}$$

**Frage:** Wie verhält sich das Vorzeichen von  $r_{SP}$  in Abhängigkeit davon, ob  $g$  bzw  $h$  streng monoton wachsen oder fallen?

# Invarianzen von Korrelationskoeffizienten

3. Invarianz unter Vertauschung der Merkmale  $X, Y$   
(betrifft: Pearsons und Spearmans Korrelationskoeffizienten)  
ergibt sich direkt aus den Definitionen der Korrelationskoeffizienten:

$$r_{XY} = r_{YX} \quad \text{bzw.} \quad r_{SP}(X, Y) = r_{SP}(Y, X)$$

- Merkmale  $X$  und  $Y$  sind gleichberechtigt.
- Korrelationskoeffizienten charakterisieren nur Stärke eines möglichen Zusammenhangs zwischen  $X$  und  $Y$  und nicht die Richtung!

**Beispiel:** Daten zu Körpergrößen von Vätern und Söhnen.  
Befund: positiver Korrelationskoeffizient.

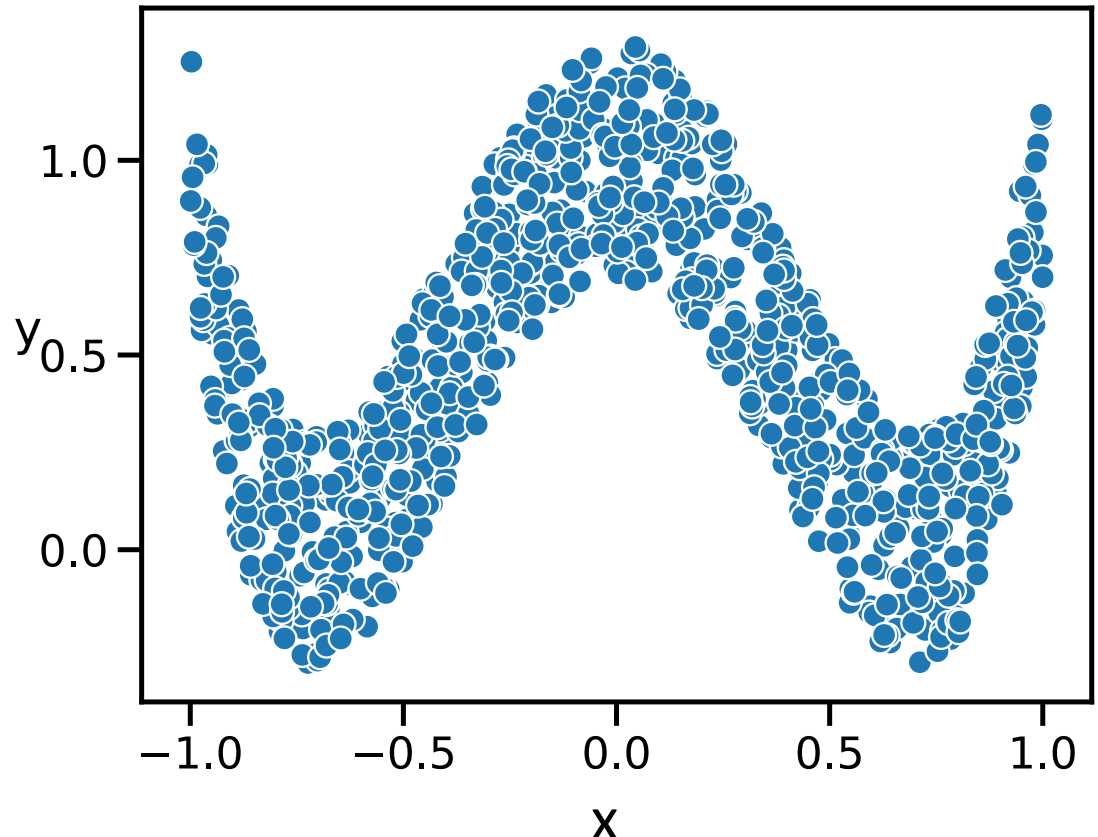
Korrelation ist ein Maß für die Stärke eines Zusammenhangs zwischen  $X$  und  $Y$ . Die Richtung der Wirkung (sofern existent) wird nicht erfasst.

# Korrelationskoeffizienten | Pearson- und Spearman

## Fragen

1. Sind  $x$  und  $y$  in der rechten Abbildung unabhängige Variablen?
2. Welche Werte werden Sie für Pearsons und Spearmans Korrelationskoeffizienten erhalten?
3. Was ist die Ursache für die Diskrepanz zwischen Ihren Beobachtungen in (1) und (2)?

F



# Mutual Information | Informationsgehalt

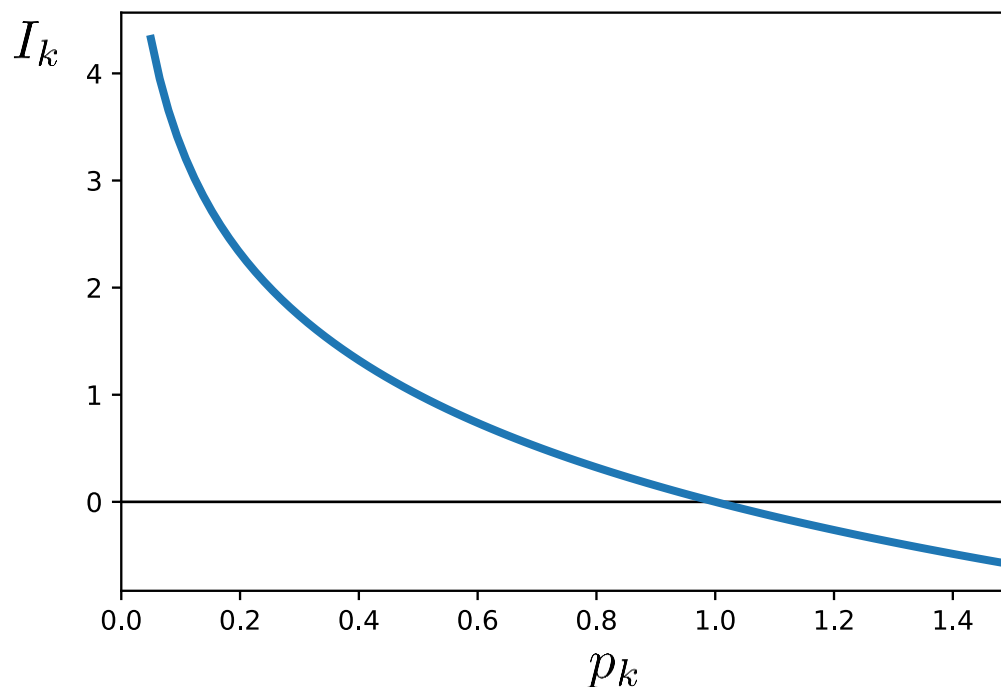
*Mutual Information* basiert auf Konzepten aus der Informationstheorie.

## Definition (Informationsgehalt)

Informationsgehalt  $I_k$  für das Eintreffen eines Ereignisses  $k$  mit Wahrscheinlichkeit  $p_k$  sei:

$$I_k := -\log_2 p_k$$

Maßeinheit: bit



## Bemerkungen

- Je seltener ein Ereignis  $k$ , desto größer sein Informationsgehalt.
- Logarithmus erleichtert das Rechnen mit Informationsgehalten.
- $I_k \geq 0$ , da  $p_k \in [0, 1]$
- Wahl einer anderen Basis des Logarithmus verändert nur die Einheit, in der „Informationsgehalt“ gemessen wird:

$$\log_2 p_k = \frac{\log_{10} p_k}{\log_{10} 2} \approx 3.32 \log_{10} p_k$$

(Maßeinheit in der Basis 10: ban)

# Mutual Information

Wir betrachten ein Zufallsexperiment mit einer diskreten Zufallsvariablen  $X$ , die die möglichen diskreten Werte (Ereignisse, Ausgänge)  $x_i$  mit Wahrscheinlichkeiten  $p_i$  annimmt.

## Definition (Entropie)<sup>1</sup>

Der mittlere Informationsgehalt eines Ereignisses (Ausgangs) eines Zufallsexperiments mit Zufallsvariable  $X$  heißt **Entropie  $H(X)$** .

$$H(X) := \mathbb{E}[I] = - \sum_{k=1}^C p_k \log_2 p_k \quad \text{mit} \quad 0 \log_2 0 = 0$$

↑

Erwartungswert      Mittelung gewichtet bzgl der  
Wahrscheinlichkeiten der  
Ereignisse (bzw. der Klassen)

(entsprechend dem Grenzwert:  
 $\lim_{x \rightarrow 0} x \log_2 x = 0$ )

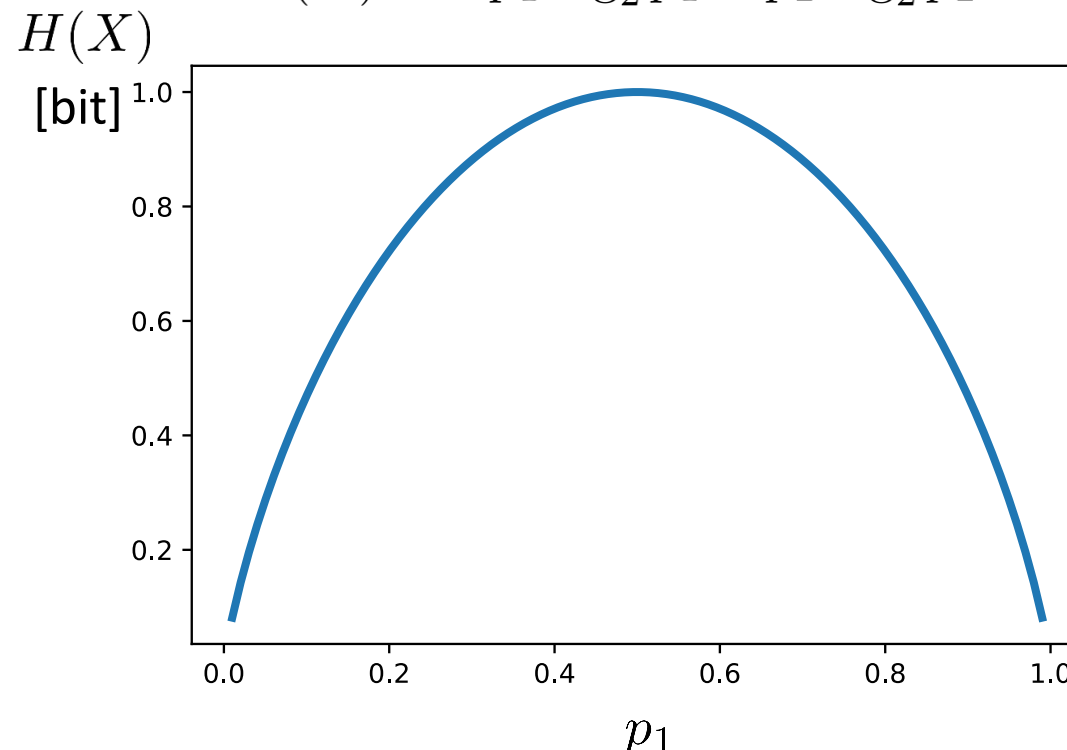
1) bekannt unter den Namen „Shannon-Entropie“, „Gibbs-Boltzmann Entropie“

# Mutual Information | Entropie

## Beispiel – Entropie für diskrete Variable mit zwei Ausgängen

- 2 Klassen:  $C=2$
- $p_1$  : Wahrscheinlichkeit für Ereignis (Ausgang) 1
- $p_2 = 1 - p_1$  : Wahrscheinlichkeit für Ereignis (Ausgang) 2

$$H(X) = -p_1 \log_2 p_1 - p_2 \log_2 p_2$$



# Mutual Information | Bedingte Entropie

Wir betrachten zwei Zufallsexperimente mit den diskreten Zufallsvariablen  $X$  und  $Y$ , die die möglichen Werte  $x_i$  und  $y_j$  mit Wahrscheinlichkeiten  $p(x_i)$  bzw.  $p(y_j)$  annehmen können.

- $p(x_i, y_j)$  bezeichne die gemeinsame Wahrscheinlichkeit (Verbundwahrscheinlichkeit) für das gemeinsame Auftreten von  $x_i, y_j$
- $p(x_i|y_j) = \frac{p(x_i, y_j)}{p(y_j)}$  bezeichne die bedingte Wahrscheinlichkeit für  $x_i$  unter der Bedingung, dass  $y_j$  vorgegeben ist.

Entropie von  $X$  unter der Bedingung des Auftretens eines Wertes  $y_j$ :

$$H(X|Y = y_j) = - \sum_i p(x_i|y_j) \log_2 p(x_i|y_j)$$

# Mutual Information | Bedingte Entropie

Entropie von X unter der Bedingung des Auftretens eines Wertes  $y_j$ :

$$H(X|Y = y_j) = - \sum_i p(x_i|y_j) \log_2 p(x_i|y_j) \quad (1)$$

## Definition (bedingte Entropie)

Der mittlere Informationsgehalt eines Ergebnisses einer Zufallsvariablen X unter der Bedingung, dass der Wert einer Zufallsvariablen Y bekannt ist, heißt **bedingte Entropie**  $H(X|Y)$ .

$$H(X|Y) = \sum_j p(y_j) H(X|Y = y_j)$$

Dies ist die gewichtete Summe des Ausdrucks (1) für jeden möglichen Wert von Y.

$$= - \sum_{i,j} p(y_j) p(x_i|y_j) \log_2 p(x_i|y_j)$$

weil  $p(x_i|y_j) = \frac{p(x_i, y_j)}{p(y_j)}$

$$= - \sum_{i,j} p(x_i, y_j) \log_2 \frac{p(x_i, y_j)}{p(y_j)}$$

# Mutual Information

## Definition (Mutual Information)

Die Abnahme des mittleren Informationsgehalts eines Ergebnisses der Zufallsvariablen  $X$  durch Kenntnis des Ergebnisses einer Zufallsvariablen  $Y$  heißt *Mutual Information*.

$$I(X; Y) = H(X) - H(X|Y)$$

### Auf Deutsch

Die Mutual Information misst, wieviel Information  $Y$  über  $X$  offenbart.

*Mutual Information* ist auch bekannt unter der Bezeichnung *Transinformation* oder *Information Gain* (im Kontext von Bäumen als Lernmodelle).

# Mutual Information

## Eigenschaft 1: Symmetrie

$$I(X;Y) = H(X) - H(X|Y)$$

$$\begin{aligned} &= - \sum_i \underbrace{p(x_i)}_{\left( \sum_j p(x_i, y_j) \right)} \log_2(p(x_i)) + \sum_{i,j} p(x_i, y_j) \log_2 \left( \frac{p(x_i, y_j)}{p(y_j)} \right) \\ &= - \sum_i \left( \sum_j p(x_i, y_j) \right) \log_2(p(x_i)) + \sum_{i,j} p(x_i, y_j) \log_2 \left( \frac{p(x_i, y_j)}{p(y_j)} \right) \\ &= - \sum_{i,j} p(x_i, y_j) \log_2(p(x_i)) + \sum_{i,j} p(x_i, y_j) \log_2 \left( \frac{p(x_i, y_j)}{p(y_j)} \right) \\ &= \sum_{i,j} p(x_i, y_j) \left( \log_2 \left( \frac{p(x_i, y_j)}{p(y_j)} \right) - \log_2(p(x_i)) \right) \\ &= \sum_{i,j} p(x_i, y_j) \log_2 \left( \frac{p(x_i, y_j)}{p(x_i)p(y_j)} \right) \quad \xleftarrow{\text{symmetrisch unter Vertauschung von X und Y}} \\ &= I(Y;X) \end{aligned}$$

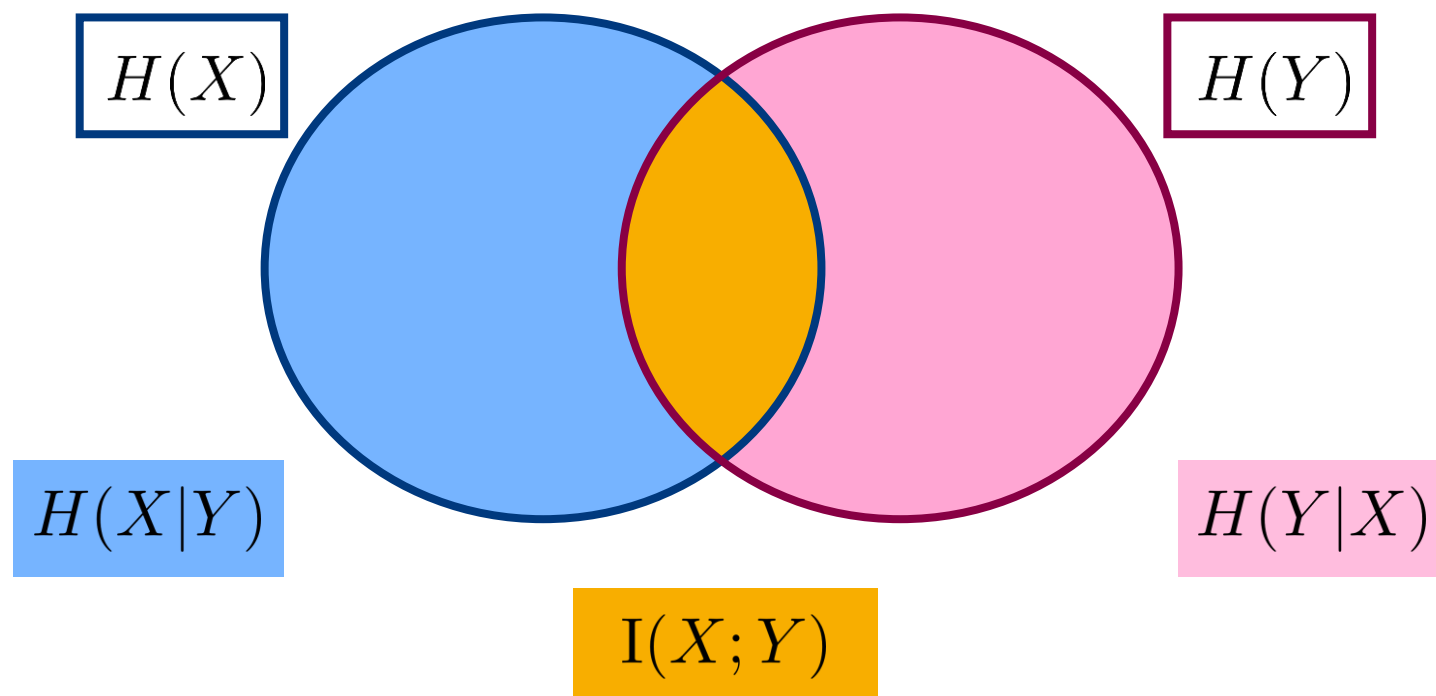
## Eigenschaft 2: Nicht-Negativität<sup>1</sup>: $I(X;Y) \geq 0$

1) beweisen wir hier nicht (lässt sich über die Jensensche Ungleichung zeigen)

# Mutual Information

## Venn-Diagramm (Mengendiagramm)

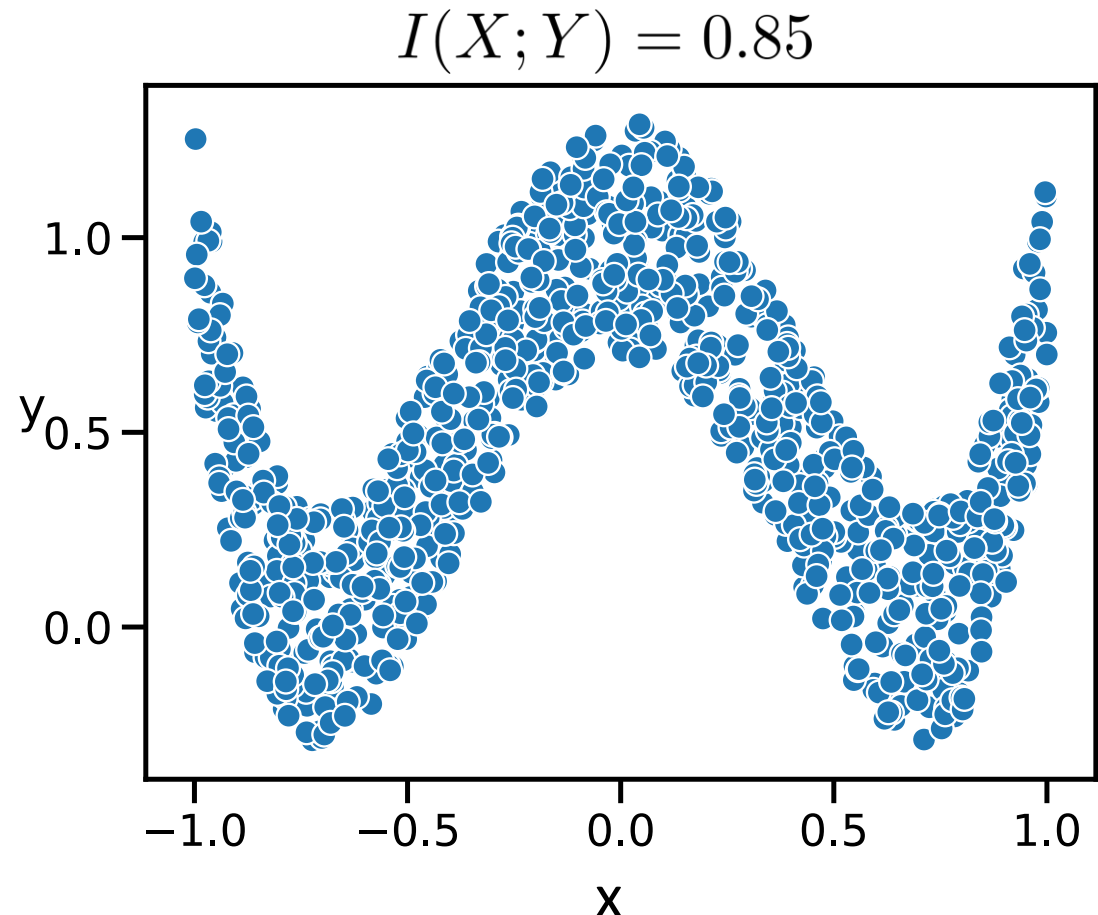
zur Veranschaulichung der Zusammenhänge zwischen  
Entropien  $H(X)$  und  $H(Y)$ , bedingten Entropien  $H(X|Y)$ ,  $H(Y|X)$  und  
Mutual Information  $I(X;Y)$



# Mutual Information

Mutual Information ...

- kann nichtlineare Zusammenhänge charakterisieren
- ist schwer zu schätzen bei kleinen Stichproben  
(→ robuste Schätzer wurden in den letzten 20 Jahren entwickelt)



# Mutual Information | Nebenbemerkung

Einer der bekanntesten Schätzer für Mutual Information wurde am Forschungszentrum Jülich entwickelt:

PHYSICAL REVIEW E **69**, 066138 (2004)

## Estimating mutual information

Alexander Kraskov, Harald Stögbauer, and Peter Grassberger

*John-von-Neumann Institute for Computing, Forschungszentrum Jülich, D-52425 Jülich, Germany*

(Received 28 May 2003; published 23 June 2004)

We present two classes of improved estimators for mutual information  $M(X, Y)$ , from samples of random points distributed according to some joint probability density  $\mu(x, y)$ . In contrast to conventional estimators based on binnings, they are based on entropy estimates from  $k$ -nearest neighbor distances. This means that they are data efficient (with  $k=1$  we resolve structures down to the smallest possible scales), adaptive (the resolution is higher where data are more numerous), and have minimal bias. Indeed, the bias of the underlying entropy

# M'variate Explorative Analyse

## Korrelation und Kausalität

- hohe Werte von Zusammenhangsmaßen können hindeuten auf kausale Zusammenhänge, diese aber nicht begründen
- *Kontrollierte Experimente* können zur Entdeckung von kausalen Zusammenhängen genutzt werden.  
Typisch: Merkmal  $X$  wird im Experiment verändert, und man beobachtet die daraus resultierenden oder nicht resultierenden Änderungen von Merkmal  $Y$ .
- Experimente lassen sich aber in vielen Fällen nicht realisieren.  
→ Entwicklung von Maßen zur Charakterisierung der Richtung eines Zusammenhangs (z.B. *Granger Causality*)

# Zusammenhangsmaße | Interpretationsfehler

## Fehlerquellen bei der Beurteilung von Zusammenhangsmaßen

- wesentlicher Merkmale (Features) nicht berücksichtigen

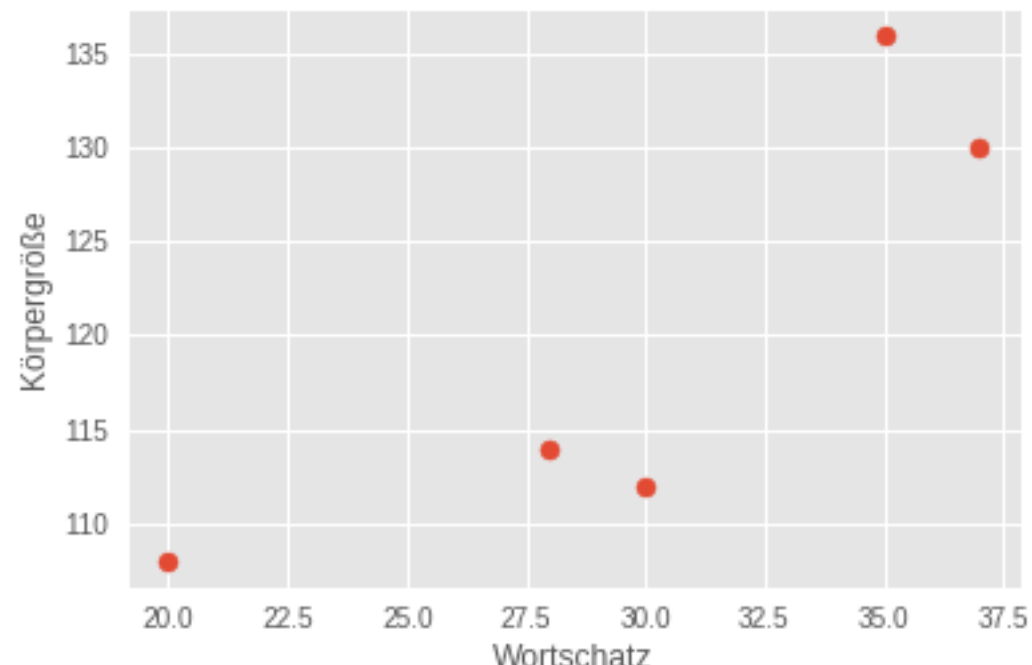
### 1. Scheinkausalität (*spurious correlation*)

F

(meist unscharf als *Scheinkorrelation* bezeichnet)

Beispiel (fiktiv):

- Körpergrößen ( $Y$ ) von Kindern und ihr Wortschatz ( $X$ , in einem Aufsatz) wurden erfasst
- Korrelation (Pearson):  
 $r_{XY} = 0.86$



**Frage:** Welchen Kausalzusammenhang vermuten Sie zwischen  $X$  und  $Y$ ?

# Zusammenhangsmaße | Interpretationsfehler

# Zusammenhangsmaße | Interpretationsfehler

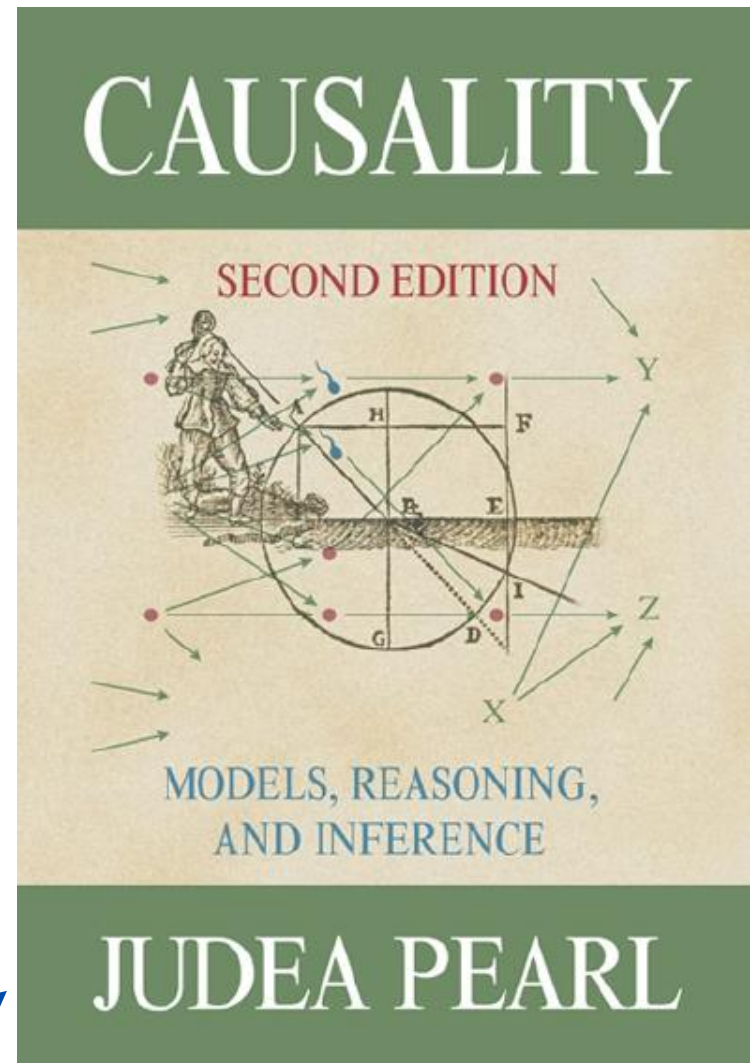
Beispiel: Jäger-Beute Beziehungen in komplexen Ökosystemen

# Zusammenhangsmaße | Exkurs

Identifikation von Kausalitätsnetzen  
(*graphical models*)

- Netzwerke statistischer Unabhängigkeit (d.h. relevant sind *fehlende* Verbindungen)
- Entwicklung vieler Methoden zur Identifikation von direkter/indirekter bzw. Schein- vs echter Korrelation
- aktueller Forschungsgegenstand (siehe Buch von J. Pearl, 2009)

Unterhaltsames Buch (ab Doktorandenniveau)  
J. Pearl, Prof. an der UCLA, Informatiker, KI-Forscher



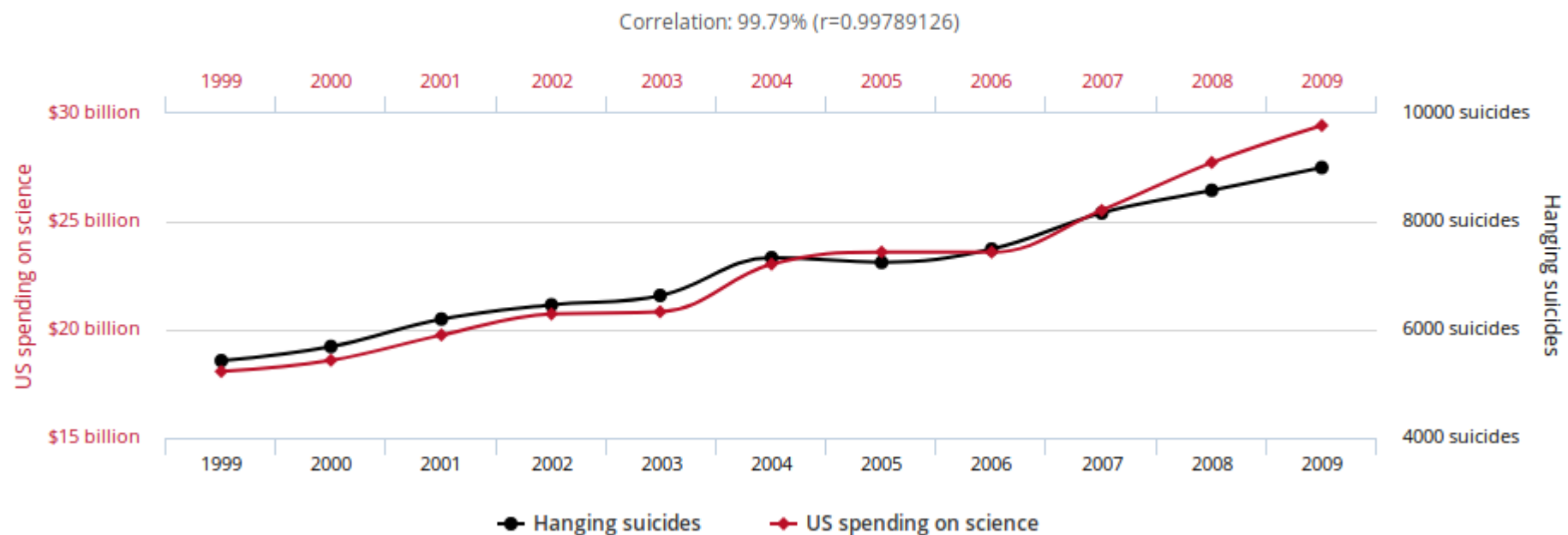
Pearl, J. Springer 2009

# Zusammenhangsmaße | Interpretationsfehler

## c) Zufällige Korrelation

Beispiel

**US spending on science, space, and technology**  
correlates with  
**Suicides by hanging, strangulation and suffocation**



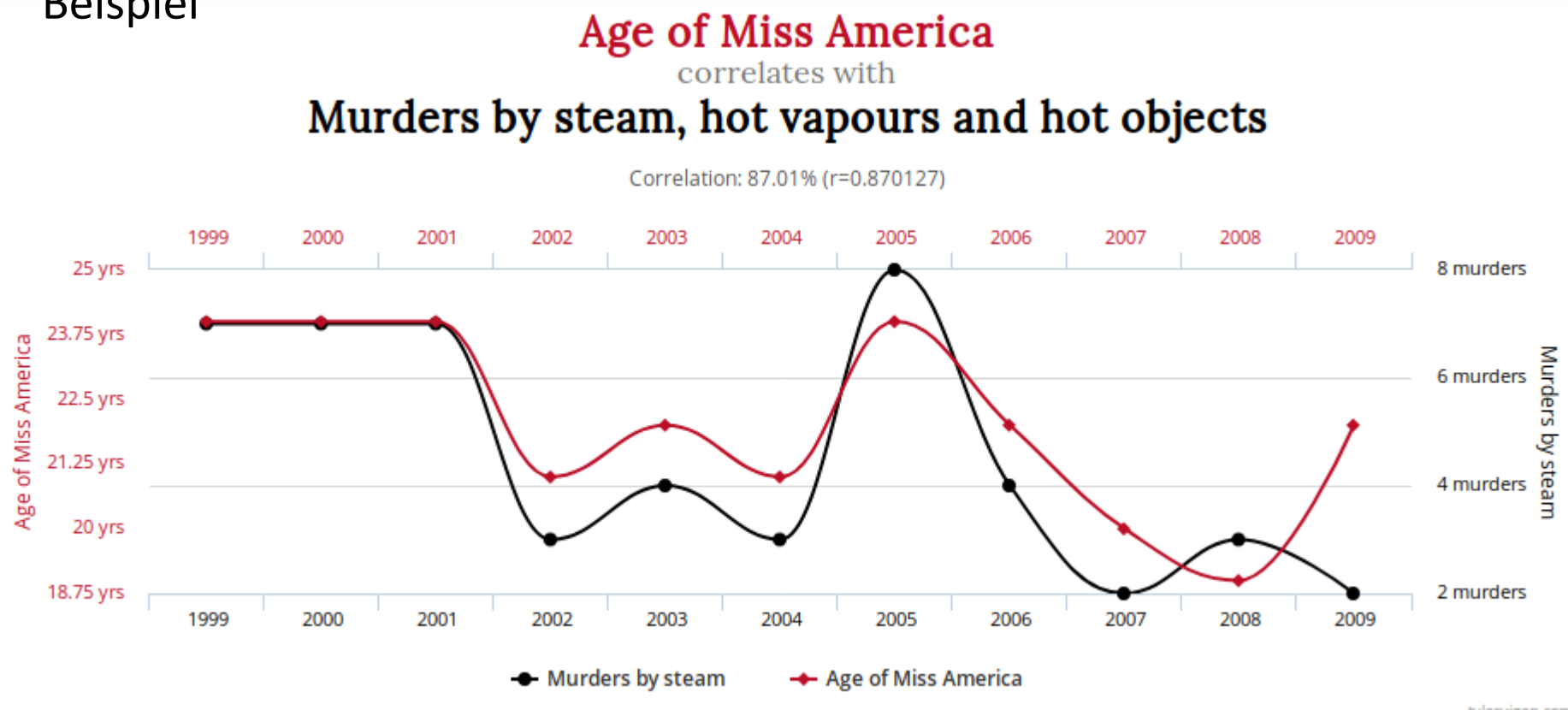
Data sources: U.S. Office of Management and Budget and Centers for Disease Control & Prevention

tylervigen.com

# Zusammenhangsmaße | Interpretationsfehler

## c) Zufällige Korrelation

Beispiel



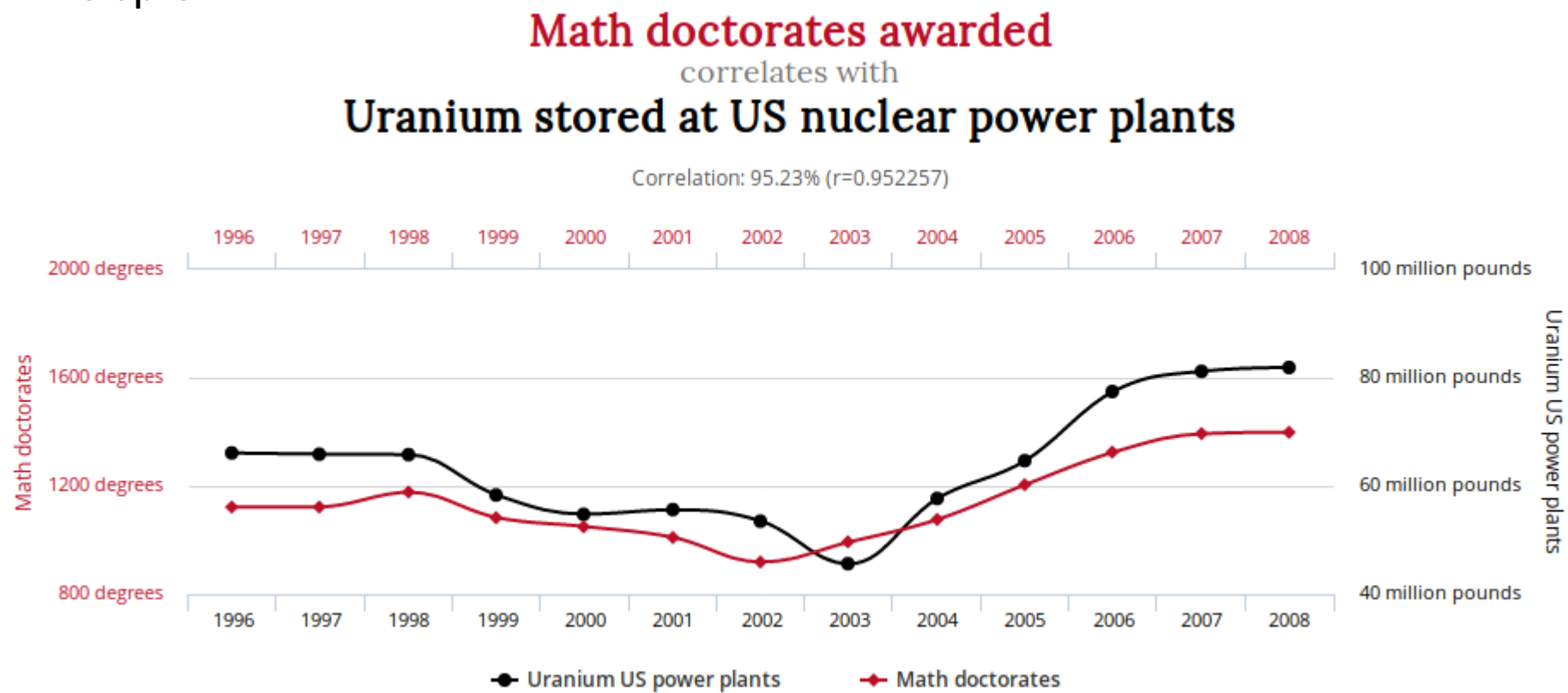
Data sources: Wikipedia and Centers for Disease Control & Prevention

tylervigen.com

# Zusammenhangsmaße | Interpretationsfehler

## c) Zufällige Korrelation

Beispiel



Data sources: National Science Foundation and Dept. of Energy

tylervigen.com

# Zusammenhangsmaße | Interpretationsfehler

## c) Zufällige Korrelation

Tyler Vigen (ehemaliger Doktorand der Harvard Law School) generierte die vorherigen gezeigten Abbildungen zum Spaß auf folgende Weise<sup>1</sup>:

1. Anlegen eines Datensatzes mit vielen Merkmalen (darunter z.B. „Age of Miss America“)
2. Berechnung von Korrelationskoeffizienten für alle Merkmalspaare.

„data dredging“

“The correlations are also strong because very few points are being compared. Instead of comparing just ten years, we should ideally be looking at hundreds of points of comparison. Correlations are an important part of scientific analysis, but they can be misleading if used incorrectly. Even the charts are designed to be subtly deceptive. The data on the Y-axes doesn't always start at zero, which makes the graphs appear to line up much better than they otherwise would. The data points are real and mathematically placed, but they are displayed in a very specific way.”<sup>1</sup>

# Zusammenhangsmaße | Interpretationsfehler

## 2. Verdeckte Korrelation

(kann auftreten, wenn eine Population in Teilpopulationen zerfällt)

Beispiel (fiktiv):

- Dosierung eines Medikaments vs Therapieerfolg
- Patientenpopulation zerfällt in zwei Teilpopulationen (leicht und schwer erkrankte)
- In jeder Teilpopulation steigt Therapieerfolg mit Dosierung ( $\rightarrow$  positive Korrelation)
- Über beide Teilpopulationen ist der Korrelationskoeffizient aber negativ (Verdeckung der positiven Korrelation der Teilpopulationen)

